

第二节 绘制根轨迹的 基本规则

通过研究根轨迹和开环零点和极点的关系、根轨迹的特殊点、渐近线和其它性质将有助于减少绘图工作量，能够较迅速地绘制出根轨迹的大致形状和变化趋势。以下的讨论是针对参数 k_g 的180度根轨迹的性质。

1、根轨迹的连续性：

闭环系统特征方程的某些系数是增益 k_g 的函数。当 k_g 从0到无穷变化时，这些系数是连续变化的。故特征方程的根是连续变化的，即根轨迹曲线是连续曲线。

2、根轨迹的对称性：

一般物理系统特征方程的系数是实数，其特征根必为实根或共轭复根。即位于复平面的实轴上或对称于实轴。

3、根轨迹的支数：

当 k_g 从0到 $+\infty$ 变化时，根轨迹的支数与闭环特征根数目相等。即根轨迹的支数等于闭环系统的阶数（ $n \geq m$ 时）。

$$\prod_{i=1}^n (s + p_i) + k_g \prod_{j=1}^m (s + z_j) = 0$$

绘制根轨迹规则1：

根轨迹是对称于实轴的连续曲线，其分支数等于系统开环零点和极点数目中的大者。

4、根轨迹的起点和终点：

定义： $k_g=0$ 时为起点，
 $k_g=+\infty$ 时为终点。

$$\text{根轨迹方程为：} k_g \frac{\prod_{j=1}^m (s + z_j)}{\prod_{i=1}^n (s + p_i)} = -1$$

$$\text{另写为：} \frac{\prod_{j=1}^m (s + z_j)}{\prod_{i=1}^n (s + p_i)} = -\frac{1}{k_g}$$

(一) $n > m$ 时：

当 $k_g=0$ 时，只有 $s=-p_i (i=1 \sim n)$ 时，上式才能成立。而 $-p_i$ 是开环极点，所以根轨迹起始于开环极点。 n 阶系统有 n 个开环极点，分别是 n 支根轨迹的起点。

当 $k_g = \infty$ 时，① $s = -z_j (j = 1 \sim m)$ 时，(1)式成立。 $-z_j$ 是开环传递函数有限值零点，有 m 个。故 n 阶系统有 m 支根轨迹的终点在 m 个有限零点处。②因 $n > m$ ，那么剩余的 $n - m$ 个终点在哪里呢？

[答案]在无穷远处。

由根轨迹方程知：当 $k_g \rightarrow \infty$ 且 $s \rightarrow \infty$ 时，(1)式也成立，见(2)式。

$$\lim_{s \rightarrow \infty} \frac{\prod_{j=1}^m (s + z_j)}{\prod_{i=1}^n (s + p_i)} = 0 \quad (2)$$

$$\lim_{k_g \rightarrow \infty} -\frac{1}{k_g} = 0$$

$$\frac{\prod_{j=1}^m (s + z_j)}{\prod_{i=1}^n (s + p_i)} = -\frac{1}{k_g} \quad (1)$$

把无穷远处根轨迹的终点称为无限开环零点，有 $n - m$ 个。有限值零点加无穷远零点的个数等于极点数 n 。

【问题】 $n - m$ 支根轨迹是如何趋于无限远呢？

(二) $n < m$ 时:

$$\frac{\prod_{j=1}^m (s + z_j)}{\prod_{i=1}^n (s + p_i)} = -\frac{1}{k_g}$$

起点($k_g=0$): 当 $s = -p_i$ 及 $s \rightarrow +\infty$ 时, 上式都成立。即: 当 $n < m$ 时, 必有 $m-n$ 支根轨迹的起点在无穷远 (无限远极点) 处。

$$\lim_{s \rightarrow \infty} \frac{\prod_{j=1}^m (s + z_j)}{\prod_{i=1}^n (s + p_i)} = \lim_{k_g \rightarrow 0} \frac{1}{k_g} = \infty, \quad n < m$$

终点($k_g=+\infty$): 当 $s = -z_j$ 时, 上式成立。

绘制根轨迹规则2:

根轨迹起始于开环极点，终止于开环零点。

5.根轨迹的渐近线:

若开环零点数为 m 小于开环极点数 n ，则当系统的开环增益 $k_g \rightarrow \infty$ 时趋向无穷远处的根轨迹共有 $n-m$ 条。这 $n-m$ 条根轨迹趋向无穷远的方位可由渐近线决定。

渐近线包括：渐近线的倾角和渐近线与实轴的交点。

□ **倾角**：设根轨迹在无限远处有一点 s_k ，则 s 平面上所有的开环有限零点、极点指向 s_k 的向量都相等。如果渐近线与实轴的交点为 $-\sigma$ ，则与 $-\sigma$ 指向 s_k 的向量也相等。

即当 $s = s_k = \infty$ 时，有：

$$s + z_1 = \dots = s + z_m = s + p_1 = \dots = s + p_n = s + \sigma$$

若渐近线与实轴的倾角为 φ ，则根据相角条件，当 $s \rightarrow$ 无穷大时，有

$$\sum_{j=1}^m \angle(s + z_j) - \sum_{i=1}^n \angle(s + p_i) = m\varphi - n\varphi = \pm(2k + 1)\pi$$

$$\varphi = \pm \frac{(2k + 1)\pi}{n - m}, (k = 0, 1, \cdots, n - m - 1)$$

[约定]倾角逆时针为正，顺时针为负。

□ 渐近线与实轴的交点- σ

当 $s = s_k = \infty$ 时, 有:

$$s + z_1 = \dots = s + z_m = s + p_1 = \dots = s + p_n = s + \sigma$$

则根轨迹方程可写为:

$$\frac{k_g}{(s + \sigma)^{n-m}} = -1$$

$$\left| \frac{1}{(s + \sigma)^{n-m}} \right| = \left| \frac{1}{s^{n-m} + (n-m)\sigma s^{n-m-1} + \dots} \right| = \frac{1}{k_g}$$

$$\begin{aligned}
 \text{又: } \left| \frac{\prod_{j=1}^m (s + z_j)}{\prod_{i=1}^n (s + p_i)} \right| &= \frac{1}{k_g} = \left| \frac{s^m + (\sum_{j=1}^m z_j)s^{m-1} + \cdots + \prod_{j=1}^m z_j}{s^n + (\sum_{i=1}^n p_i)s^{n-1} + \cdots + \prod_{i=1}^n p_i} \right| \\
 &= \left| \frac{1}{s^{n-m} + (\sum_{i=1}^n p_i - \sum_{j=1}^m z_j)s^{n-m-1} + \cdots} \right|
 \end{aligned}$$

比较系数得: $(n - m)\sigma = \sum_{i=1}^n p_i - \sum_{j=1}^m z_j$, 当 $s \rightarrow \infty$ 时

$$-\sigma = -\frac{\sum_{i=1}^n p_i - \sum_{j=1}^m z_j}{n - m}$$

绘制根轨迹规则3： 如果控制系统的开环极点数 n 和开环零点数 m 满足 $n > m$ ，则当根轨迹增益 $k_g \rightarrow +\infty$ 时，根轨迹的渐近线共有 $n-m$ 条，这些渐近线在实轴上交于一点，其坐标是：

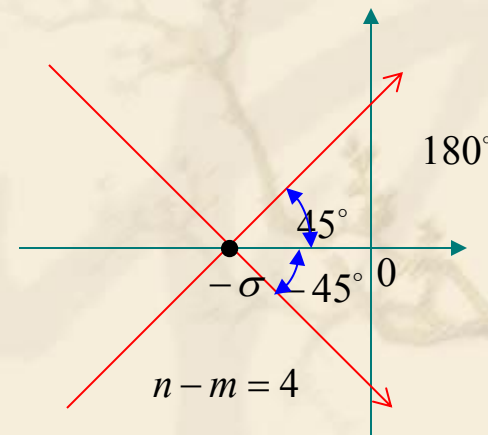
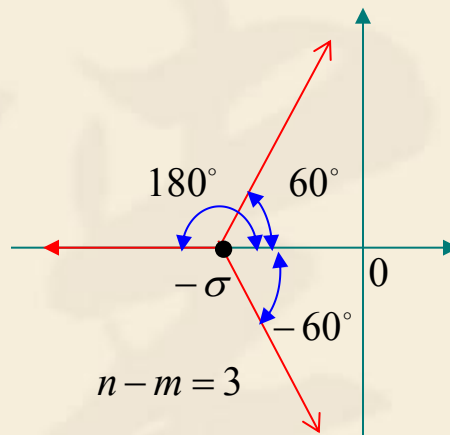
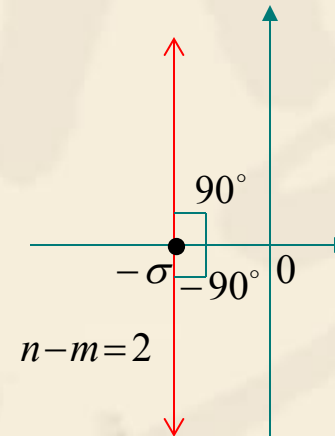
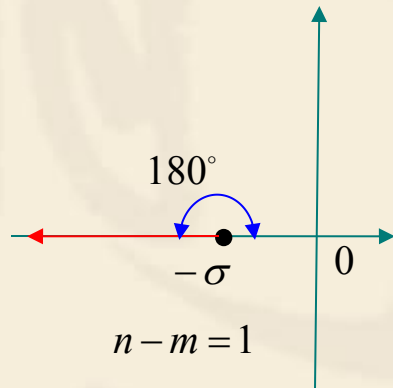
$$\left(-\frac{\sum_{i=1}^n p_i - \sum_{j=1}^m z_j}{n-m}, j0 \right)$$

其倾角（与实轴的夹角）为：

$$\frac{(2k+1)\pi}{n-m}, k = 0, 1, 2, \dots, n-m-1$$

$$\varphi = \frac{(2k+1)\pi}{n-m}, (k = 0, 1, \dots, n-m-1)$$

$$\left(-\frac{\sum_{i=1}^n p_i - \sum_{j=1}^m z_j}{n-m}, j_0 \right)$$



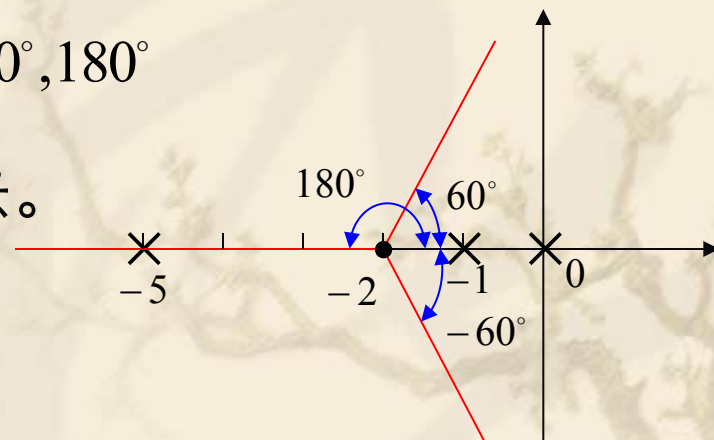
[例4.2.1]系统开环传递函数为： $G_k(s) = \frac{k_g}{s(s+1)(s+5)}$ ，试确定根轨迹支数，起点和终点。若终点在无穷远处，求渐近线与实轴的交点和倾角。

[解]：根轨迹有3支。起点为开环极点 $-p_{1,2,3}=0, -1, -5$ ，无有限值零点，所以3支根轨迹都趋向无穷远。

渐近线与实轴的交点：
$$-\sigma = -\frac{\sum p_i - \sum z_i}{n-m} = -\frac{0+1+5-0}{3-0} = -2$$

渐近线与实轴的倾角：
$$\varphi = \frac{(2k+1)\pi}{n-m} = \pm 60^\circ, 180^\circ$$

零极点分布和渐近线（红线）如图所示。



6、实轴上的根轨迹：

实轴上具有根轨迹的区间是：其右方开环系统的零点数和极点数的总和为奇数。

[证明]：例如在实轴上有两个开环极点 $-p_1$ 、 $-p_2$ ，复平面上有一对共轭极点 $-p_3$ 、 $-p_4$ 和一对共轭零点 $-z_1$ 、 $-z_2$ 。

先看试验点 s_1 点：

①成对出现的共轭极点 $-p_3$ 、 $-p_4$ 对实轴上任意试探点构成的两个向量的相角之和为 0° ；

②成对出现的共轭零点 $-z_1$ 、 $-z_2$ 对实轴上任意试探点构成的两个向量的相角之和为 0° ；

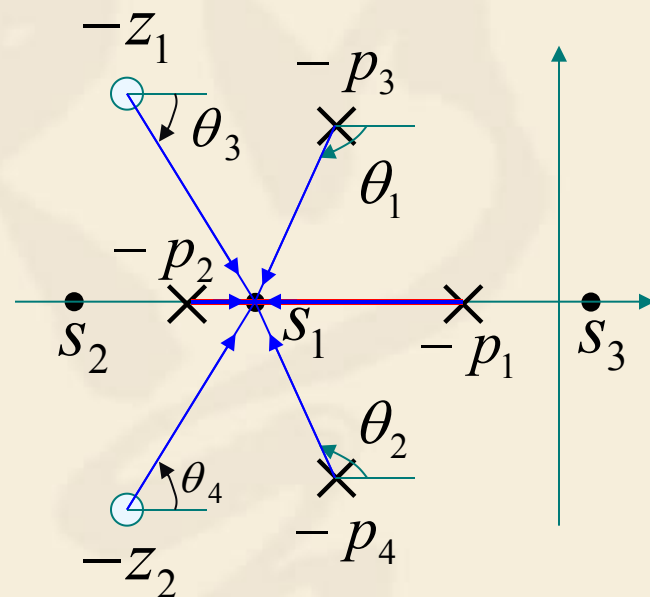
③试探点左边的极点 $-p_2$ 对试探点构成的向量的相角为 0° ；

④试探点右边的极点 $-p_1$ 对试探点构成的向量的相角为 180° ；

所以 s_1 点满足根轨迹相角条件，于是 $[-p_2, -p_1]$ 为实轴上的根轨迹。

再看 s_2 点：不满足根轨迹相角条件，所以不是根轨迹上的点。

同样 s_3 点也不是根轨迹上的点。

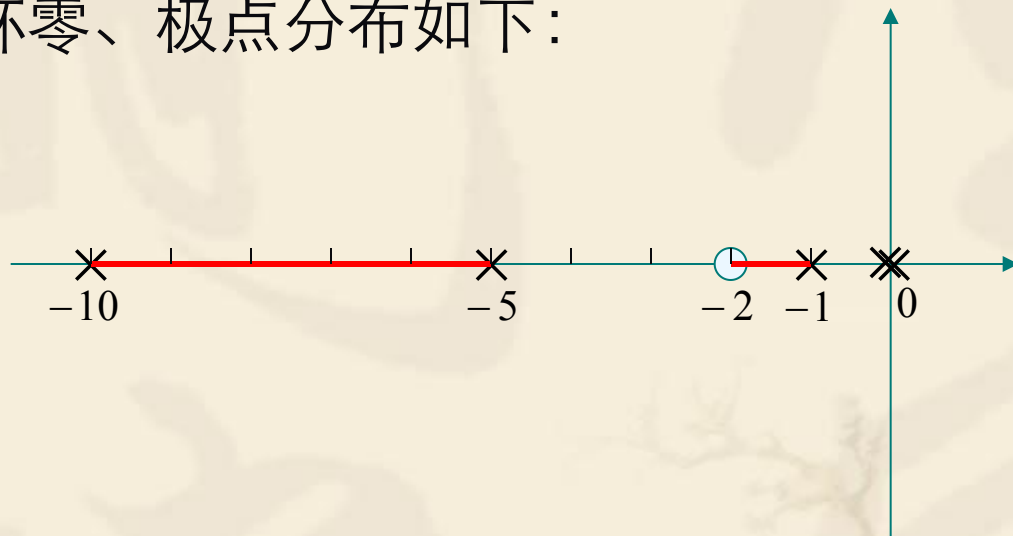


绘制根轨迹规则4:

若实轴上某点右边的开环零点和开环极点数目之和为奇数，则该点是根轨迹上的点。共轭复数开环零点、开环极点对确定实轴上的根轨迹无影响。

[例] 设系统的开环传递函数为： $G_k(s) = \frac{k_g(s+2)}{s^2(s+1)(s+5)(s+10)}$ ，
试求实轴上的根轨迹。

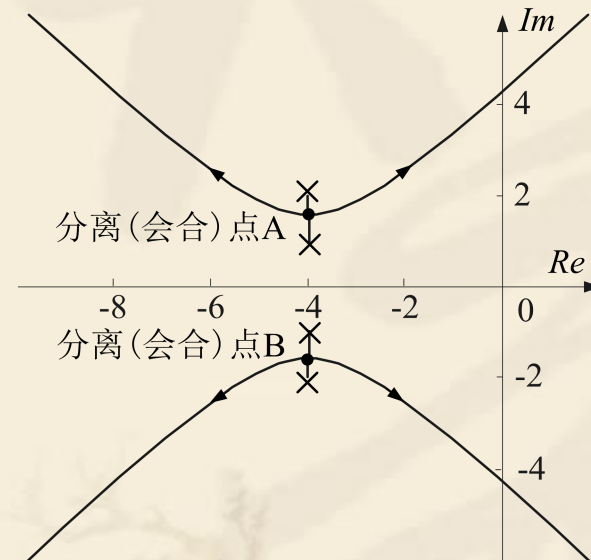
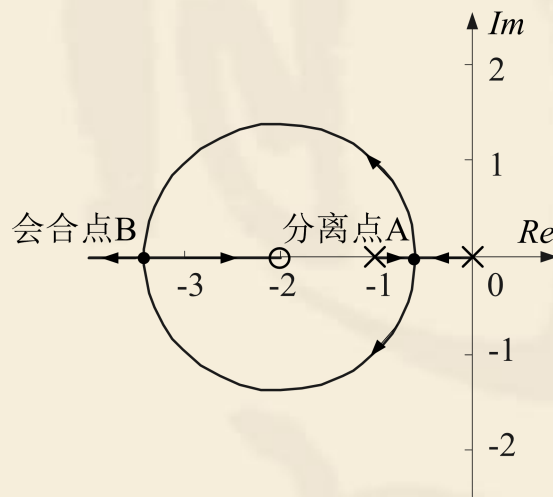
[解]：开环零、极点分布如下：



红线所示为实轴上根轨迹，为： $[-10, -5]$ 和 $[-2, -1]$ 。注意在原点有两个极点，双重极点用“ \times ”表示。

7、根轨迹的分离(会合)点：

若干支根轨迹在复平面上某一点相遇后又分开，称该点为分离(会合)点。



通常当根轨迹分支在实轴上相交后走向复平面时，习惯上称该相交点为根轨迹的分离点，反之，当根轨迹分支由复平面走向实轴时，它们在实轴上的交点称为会合点。

[分离(会合)点的求法1]:

根轨迹在 s 平面上的分离(会合)点表示这些点是闭环特征方程的**重根点**。这时的根轨迹增益设为: $k_g = k_{gd}$

设系统开环传递函数为:

$$G_k(s) = k_g \frac{\prod_{j=1}^m (s + z_j)}{\prod_{i=1}^n (s + p_i)} = k_g \frac{N(s)}{D(s)}$$

则闭环特征方程为:

$$F(s) = D(s) + k_g N(s) = 0$$

若该方程有 γ 个重根 $-\sigma_d$, 其余互异根为 $-\sigma_1$ 、 $-\sigma_2$ 、 \dots 、 $-\sigma_{n-\gamma}$:

$$F(s) = D(s) + k_g N(s)$$

$$= (s + \sigma_1)(s + \sigma_2) \dots (s + \sigma_{n-\gamma})(s + \sigma_d)^\gamma = 0$$

$$F(s) = (s + \sigma_1)(s + \sigma_2) \dots (s + \sigma_{n-\gamma})(s + \sigma_d)^\gamma = 0$$

求导，得：

$$\begin{aligned} F'(s) &= D'(s) + k_g N'(s) \\ &= (s + \sigma_d)^\gamma [(s + \sigma_1)(s + \sigma_2) \dots (s + \sigma_{n-\gamma})]' \\ &\quad + \gamma (s + \sigma_d)^{\gamma-1} [(s + \sigma_1) \dots (s + \sigma_{n-\gamma})] \end{aligned}$$

$$\text{有：} F(s)|_{s=-\sigma_d} = F'(s)|_{s=-\sigma_d} = 0$$

$$\text{或：} \begin{cases} D(s) + k_{gd} N(s) = 0 \\ D'(s) + k_{gd} N'(s) = 0 \end{cases} \quad \text{当 } s = -\sigma_d \text{ 时}$$

消去 k_{gd} 得：

$$\begin{cases} N'(s)D(s) - N(s)D'(s) = 0 \\ k_{gd} = -\frac{D'(s)}{N'(s)} = -\frac{D(s)}{N(s)} \Big|_{s=-\sigma_d} \end{cases}$$

由该式可求得分离(会合)点，以及这些点处的根轨迹增益。

[求分离(会合)点求法2]

设系统开环传递函数为： $G_k(s) = k_g \frac{\prod_{j=1}^m (s + z_j)}{\prod_{i=1}^n (s + p_i)}$

闭环特征方程为： $G_k(s) = -1$

$$\text{即： } F(s) = k_g \prod_{j=1}^m (s + z_j) + \prod_{i=1}^n (s + p_i) = 0$$

$$\text{重根时满足： } \frac{dF(s)}{ds} = \frac{d}{ds} \left[k_g \prod_{j=1}^m (s + z_j) + \prod_{i=1}^n (s + p_i) \right] = 0$$

$$\prod_{i=1}^n (s + p_i) = -k_g \prod_{j=1}^m (s + z_j) \quad (1)$$

$$\frac{d}{ds} \prod_{i=1}^n (s + p_i) = -k_g \frac{d}{ds} \prod_{j=1}^m (s + z_j) \quad (2)$$

$$\frac{(2)}{(1)} \quad \frac{\frac{d}{ds} \prod_{i=1}^n (s + p_i)}{\prod_{i=1}^n (s + p_i)} = \frac{\frac{d}{ds} \prod_{j=1}^m (s + z_j)}{\prod_{j=1}^m (s + z_j)}$$

$$\frac{d \left[\ln \prod_{i=1}^n (s + p_i) \right]}{ds} = \frac{d \left[\ln \prod_{j=1}^m (s + z_j) \right]}{ds}$$

$$\frac{d \left[\sum_{i=1}^n \ln(s + p_i) \right]}{ds} = \frac{d \left[\sum_{j=1}^m \ln(s + z_j) \right]}{ds}$$

$$\sum_{i=1}^n \frac{d \ln(s + p_i)}{ds} = \sum_{j=1}^m \frac{d \ln(s + z_j)}{ds}$$

$$\sum_{i=1}^n \frac{1}{s + p_i} = \sum_{j=1}^m \frac{1}{s + z_j}$$

[求分离(会合)点求法3]

[极值法]若分离会合点处于实轴上，则在分离会合点处， k_g 具有实数极值。

$$k_g = -\frac{D(s)}{N(s)}$$

$$\frac{dk_g}{ds} = -\frac{d}{ds} \left[\frac{D(s)}{N(s)} \right] = -\frac{D'(s)N(s) - N'(s)D(s)}{N^2(s)} = 0$$

$$N'(s)D(s) - N(s)D'(s) = 0$$

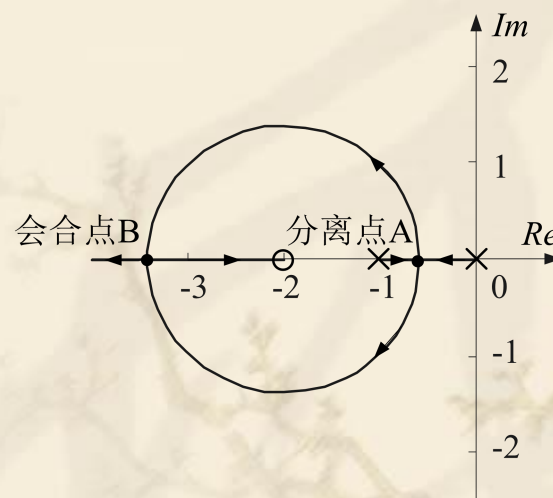
[说明]

- 按上述方法所求的根可能并非都是实际的分离(会合)点，只有位于根轨迹上的那些点才是实际的分离(会合)点，具体计算时应加以判断。若所求出的增益 k_{gd} 为大于零的实数，则所求出的点为实际分离(会合)点。
- 一般，若实轴上两相邻开环极点之间有根轨迹，则这两相邻极点之间必有分离点；如果实轴上两相邻开环零点（其中一个可能是无限大零点）之间有根轨迹，则这相邻零点之间必有会合点。

[分离角]: 根轨迹进入分离（会合）点的切线方向与离开分离（会合）点的切线方向之间的夹角。

假设有 l 条根轨迹分支进入并离开分离（会合）点，则分离角为：

$$\theta_d = \frac{(2k+1)\pi}{l}, \quad k = 0, 1, 2, \dots, l-1$$



绘制根轨迹规则5: $k_g \frac{N(s)}{D(s)} = -1$

根轨迹的分离(会合)点求解公式为:

$$N'(s)D(s) - N(s)D'(s) = 0$$
$$\sum_{i=1}^n \frac{1}{s + p_i} = \sum_{j=1}^m \frac{1}{s + z_j}$$

分离(会合)点对应的根轨迹增益为:

$$k_{gd} = -\frac{D'(s)}{N'(s)} = -\frac{D(s)}{N(s)} \Big|_{s=-\sigma_d}$$

[例4.2.2]单位反馈系统的开环传递函数为：

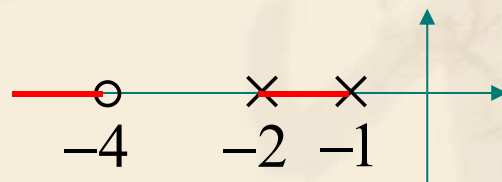
$$G_k(s) = \frac{K(0.25s + 1)}{(s + 1)(0.5s + 1)}$$

试确定实轴上的根轨迹区间，并计算根轨迹的分离（会合）点和分离角，以及分离（会合）点处的根轨迹增益。

解： 首先将系统的开环传递函数写为零、极点形式：

$$G_k(s) = \frac{k_g(s + 4)}{(s + 1)(s + 2)} \quad , \quad \text{其中：} k_g = K/2$$

画出开环极点和零点分布图，可得实轴上的根轨迹区间应为：
 $(-\infty, -4]$ 和 $[-2, -1]$



求根轨迹的分离（会合）点：

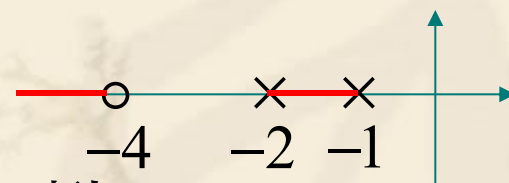
设 $G_k(s) = k_g \frac{N(s)}{D(s)}$, 则: $N(s) = s + 4, D(s) = (s + 1)(s + 2) = s^2 + 3s + 2$

$$N'(s) = 1, D'(s) = 2s + 3,$$

由 $N(s)'D(s) - N(s)D'(s) = 0$, 整理得: $s^2 + 8s + 10 = 0$

解得: $s_1 = -1.55, s_2 = -6.45$

根据根轨迹在实轴上的分布, 可知 s_1 是实轴上的分离点, s_2 是实轴上的会合点。



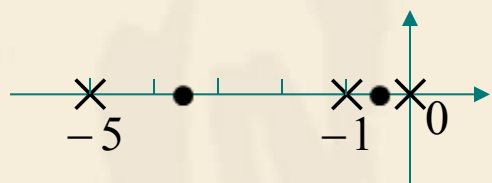
分离点和会合点对应的根轨迹增益分别为:

$$k_{gd1} = -\frac{D'(s)}{N'(s)} = -\frac{2s+3}{1} \Big|_{s=-1.55} = 0.1 \quad k_{gd2} = -\frac{D'(s)}{N'(s)} = -\frac{2s+3}{1} \Big|_{s=-6.45} = 9.9$$

[例4-4]单位反馈系统的开环传递函数为： $G_k(s) = \frac{k_g}{s(s+1)(s+5)}$

试确定实轴上根轨迹的分离会合点的位置。

[解]:



实轴上根轨迹区间是： $(-\infty, -5]$ 和 $[-1, 0]$

闭环特征方程为： $1 + G_k(s) = 1 + \frac{k_g}{s(s+1)(s+5)} = 0$

$$k_g = -s(s+1)(s+5) = -(s^3 + 6s^2 + 5s)$$

$$\frac{dk_g}{ds} = -(3s^2 + 12s + 5) = 0$$

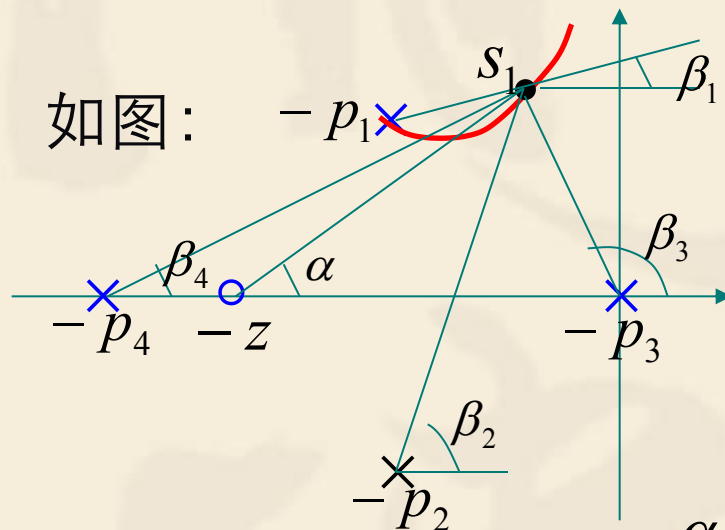
$$s_{1,2} = -2 \pm \sqrt{\frac{7}{3}} = \begin{cases} -0.4725 & k_g = 1.12845 \\ -3.5275 & k_g = -13.13 \end{cases}$$

显然，分离会合点为-0.4725，而-3.5275不是分离会合点。

注意：分离会合点也可能出现在复平面上，由于根轨迹对称于实轴，所以，复平面上的分离会合点必对称于实轴。

8、根轨迹的出射角和入射角：

根轨迹离开开环复极点处的切线方向与正实轴的夹角称为**出射角**；根轨迹进入开环复零点处切线方向与正实轴的夹角称为**入射角**。



图中有四个开环极点，一个开环零点。 $-p_1$ 、 $-p_2$ 为共轭极点，现在计算 $-p_1$ 的出射角，设为 θ_{1c} 。

在离开 $-p_1$ 附近的根轨迹上取一点 s_1 ，则 s_1 点应满足相角条件：

$$\alpha - \angle(s_1 + p_1) - \angle(s_1 + p_2) - \angle(s_1 + p_3) - \angle(s_1 + p_4) = \pm(2k+1)\pi$$

$$\alpha - \beta_1 - \beta_2 - \beta_3 - \beta_4 = \pm(2k+1)\pi$$

当 $s_1 \rightarrow -p_1$ 时， β_1 即为离开根轨迹上 $-p_1$ 点的出射角， $\beta_1 \rightarrow \theta_{1c}$ 。

$$\theta_{1c} = \mp(2k+1)\pi + \alpha - \beta_2 - \beta_3 - \beta_4 = \mp(2k+1)\pi + \sum_{j=1}^m \alpha_j - \sum_{\substack{i=1 \\ i \neq 1c}}^n \beta_i$$

式中： β_i 为除了 $-p_1$ 以外的所有开环极点指向 $-p_1$ 的矢量的相角；
 α_j 为所有开环零点指向 $-p_1$ 的矢量的相角。

$-p_2$ 的出射角与 $-p_1$ 的出射角关于实轴对称。

同理，进入复零点 $-z_y$ 的根轨迹入射角 θ_{yr} 为：

$$\theta_{yr} = \mp(2k+1)\pi - \sum_{\substack{j=1 \\ j \neq yr}}^m \alpha_j + \sum_{i=1}^n \beta_i$$

式中： α_j 为除了 $-z_y$ 以外的开环零点到 $-z_y$ 的矢量相角； β_i 为各开环极点到 $-z_y$ 的矢量相角。

绘制根轨迹规则6:

根轨迹的出射角和入射角分别为:

$$\theta_{pk} = \pi + \sum_{j=1}^m \angle(p_k + z_j) - \sum_{\substack{i=1 \\ i \neq k}}^n \angle(p_k + p_i)$$

$$\theta_{zk} = \pi - \sum_{\substack{j=1 \\ j \neq k}}^m \angle(z_k + z_j) + \sum_{i=1}^n \angle(z_k + p_i)$$

即:

$$\theta_{pk} = \pi + \sum_{j=1}^m \alpha_j - \sum_{\substack{i=1 \\ i \neq k}}^n \beta_i = \pi + \sum (\text{从各个零点到该极点的向量辐角}) \\ - \sum (\text{从其他极点到该极点的向量辐角})$$

$$\theta_{zk} = \pi - \sum_{\substack{j=1 \\ j \neq k}}^m \alpha_j + \sum_{i=1}^n \beta_i = \pi - \sum (\text{从其他零点到该零点的向量辐角}) \\ + \sum (\text{从各个极点到该零点的向量辐角})$$

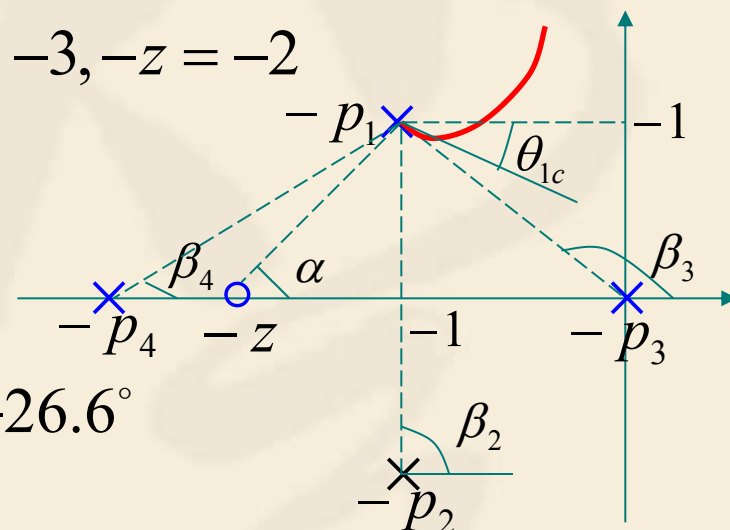
[例]如图，试确定根轨迹离开复数共轭极点的出射角。

$$-p_1 = -1 + j1, -p_2 = -1 - j1, -p_3 = 0, -p_4 = -3, -z = -2$$

[解]: $\operatorname{tg} \alpha = 1, \alpha = 45^\circ; \beta_2 = 90^\circ; \beta_3 = 135^\circ;$

$$\operatorname{tg} \beta_4 = 0.5, \beta_4 = 26.6^\circ$$

$$\therefore \theta_{1c} = \pi + 45^\circ - 90^\circ - 135^\circ - 26.6^\circ = -26.6^\circ$$



根据对称性，可知 $-p_2$ 点的出射角为： $\theta_{2c} = 26.6^\circ$

请根据相角条件自行计算。

[注意]:

- ❑ 相角要注意符号；逆时针为正，顺时针为负；
- ❑ 注意矢量的方向。 $-p_2 \rightarrow -p_1, -z \rightarrow -p_1$

[重极点的出射角和重零点的入射角]

$$G_k(s) = \frac{k_g(s+2)}{s^2(s+4)}$$

$$G_k(s) = \frac{k_g(s+4)}{s(s+2)^2}$$

$$\theta_{xc} = \frac{1}{l} \left[(2k+1)\pi + \sum_{j=1}^m \alpha_j - \sum_{\substack{i=1 \\ i \neq x}}^n \beta_i \right], \quad k = 0, \pm 1, \pm 2, \dots$$

$$\theta_{yr} = \frac{1}{l} \left[(2k+1)\pi - \sum_{\substack{j=1 \\ j \neq y}}^m \alpha_j + \sum_{i=1}^n \beta_i \right], \quad k = 0, \pm 1, \pm 2, \dots$$

9、根轨迹与虚轴的交点：

根轨迹和虚轴相交时，系统处于**临界稳定状态**。闭环特征方程至少有一对共轭虚根。这时的增益 k_{gp} 称为临界根轨迹增益。

根轨迹与虚轴的交点和 k_{gp} 的求法：

□ 在根轨迹方程中令 $s=j\omega$ ，得到 $1+G_k(j\omega)=0$ ，整理得：

$$\operatorname{Re}[1+G_k(j\omega)] + j\operatorname{Im}[1+G_k(j\omega)] = 0$$

即：

$$\begin{cases} \operatorname{Re}[1+G_k(j\omega)] = 0 \\ \operatorname{Im}[1+G_k(j\omega)] = 0 \end{cases}$$

可求得根轨迹与虚轴的交点及对应的临界增益 $j\omega$ ， k_{gp} 。

□ 由劳斯稳定性判据求解：

在使用劳斯判据时会遇到劳斯阵列的某一行全为零的情况，这种情况表明闭环控制系统存在大小相等且位置径向相反的根。这些根包括大小相等而符号相反的实根对，共轭虚根对以及对称于虚轴的共轭复根对。利用劳斯阵列中系数全为零行的上一行系数组成辅助方程，该辅助方程的根即是这些大小相等且位置径向相反的根。(对闭环特征方程)

绘制根轨迹规则7：根轨迹与虚轴的交点应根据

$$\begin{cases} \operatorname{Re}[1 + G_k(j\omega)] = 0 \\ \operatorname{Im}[1 + G_k(j\omega)] = 0 \end{cases}$$

或应用劳斯稳定性判据求解。

[例4] 开环传递函数为： $G_k(s) = \frac{k_g}{s(s+1)(s+2)}$ ，试求根轨迹与虚轴的交点和 k_{gp} 。

□方法一：根轨迹方程为：

$$\Phi(s) = s(s+1)(s+2) + k_g = s^3 + 3s^2 + 2s + k_g = 0$$

将 $s = j\omega$ 代入得： $\Phi(j\omega) = -3\omega^2 + k_{gp} + j(-\omega^3 + 2\omega) = 0$

$$\therefore \begin{cases} -3\omega^2 + k_{gp} = 0 \\ -\omega^3 + 2\omega = 0 \end{cases} \Rightarrow \begin{cases} \omega = 0, \pm\sqrt{2} \\ k_{gp} = 0, 6 \end{cases}$$

当 $k_{gp} = 0$ 时， $\omega = 0$ ，为根轨迹的起点（开环极点）

当 $k_{gp} = 6$ 时， $\omega = \pm\sqrt{2}$ ，与虚轴的交点为： $\pm j\sqrt{2}$

□方法二：用劳斯稳定判据确定 ω, k_{gp} 的值。

劳斯阵列为：

$$\begin{array}{c|cc} s^3 & 1 & 2 \\ s^2 & 3 & k_g \\ s^1 & \frac{6-k_g}{3} & 0 \\ s^0 & k_g & 0 \end{array}$$

$$s^3 + 3s^2 + 2s + k_g = 0$$

劳斯阵列中某一行全为零时，特征方程可能出现共轭虚根。劳斯阵列中可能全为零的行有二。

1、令 $6 - k_g = 0$, 得临界增益为： $k_{gp} = k_g = 6$

共轭虚根为辅助方程 $3s^2 + k_{gp} = 0$ 的根。

$$3s^2 + 6 = 0, s_{1,2} = \pm j\sqrt{2}$$

2、令 $k_g = 0$, 得 $s = 0$ (开环极点)

10、闭环系统极点之和与之积：

开环传递函数为：

$$G_k(s) = k_g \frac{\prod_{j=1}^m (s + z_j)}{\prod_{i=1}^n (s + p_i)} = k_g \frac{s^m + b_{m-1}s^{m-1} + \dots + b_0}{s^n + a_{n-1}s^{n-1} + \dots + a_0}$$

式中：

$$b_{m-1} = \sum_{j=1}^m z_j, b_0 = \prod_{j=1}^m z_j \quad a_{n-1} = \sum_{i=1}^n p_i, a_0 = \prod_{i=1}^n p_i$$

闭环系统的特征方程为： $F(s) = 1 + G_k(s) = 0$ ，即：

$$F(s) = s^n + a_{n-1}s^{n-1} + \dots + a_0 + k_g(s^m + b_{m-1}s^{m-1} + \dots + b_0) = 0 \quad (1)$$

设闭环系统的极点为： $-s_1, s_2, \dots, -s_n$ ，则

$$F(s) = (s + s_1)(s + s_2) \dots (s + s_n) = s^n + \left(\sum_{i=1}^n s_i\right)s^{n-1} + \dots + \prod_{i=1}^n s_i \quad (2)$$

$$F(s) = s^n + a_{n-1}s^{n-1} + \dots + a_0 + k_g(s^m + b_{m-1}s^{m-1} + \dots + b_0) = 0 \quad (1)$$

$$F(s) = (s + s_1)(s + s_2)\dots(s + s_n) = s^n + \left(\sum_{i=1}^n s_i\right)s^{n-1} + \dots + \prod_{i=1}^n s_i \quad (2)$$

比较(1)、(2)式得：

□ 当 $n-m \geq 2$ 时， $a_{n-1} = \sum_{i=1}^n s_i = \sum_{i=1}^n p_i$ ，即：

对于任意的 k_g ，闭环极点之和等于开环极点之和，为常数。

表明：当 k_g 变化时，部分闭环极点在复平面上向右移动（变大），则另一些极点必然向左移动（变小）；反之亦然。

□ 闭环极点之积为： $\prod_{i=1}^n s_i = a_0 + k_g b_0 = \prod_{i=1}^n p_i + k_g \prod_{j=1}^m z_j$

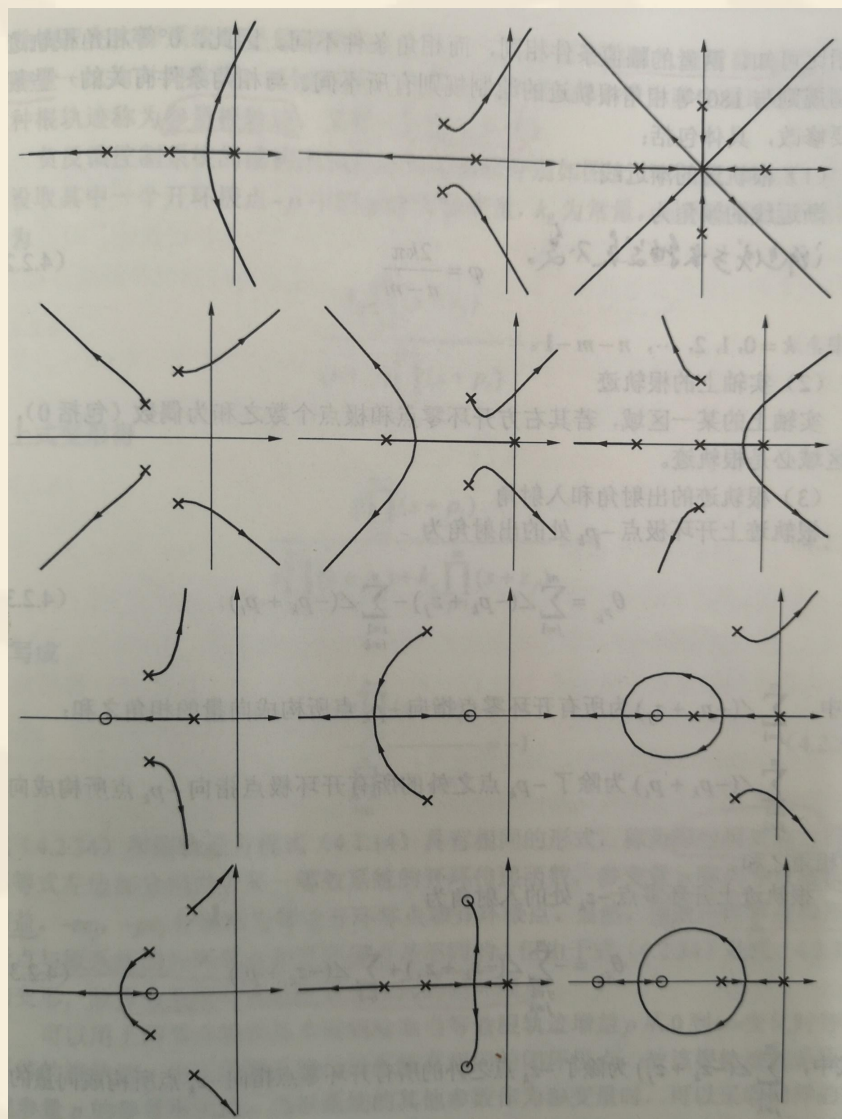
绘制根轨迹规则8：当系统满足 $n-m \geq 2$ 时，对于任意的根轨迹增益 k_g ，系统的闭环极点之和为常数，且等于系统的开环极点之和。

根据上述10个性质（或8条准则），可以大致画出根轨迹的形状。为了准确起见，对某些关注点可以用相角条件试探之。

根轨迹作图步骤汇总

- 一、标注开环极点和零点，纵、横坐标使用相同的比例尺；
- 二、实轴上的根轨迹；
- 三、 $n-m$ 条渐近线；
- 四、根轨迹的出射角、入射角；
- 五、根轨迹与虚轴的交点；
- 六、根轨迹的分离点、会合点；
- 七、结合根轨迹的连续性、对称性、根轨迹的支数、起始点和终点，闭环极点与闭环极点之和及之积等性质画出根轨迹。

右图为常见的
的开环零、
极点分布及
根轨迹图，
供绘制根轨
迹图时参考。



[例] 开环传递函数为： $G_k(s) = \frac{k_g}{s[(s+4)^2 + 16]}$ ，画根轨迹。

解: 1. 求出开环零极点，即：

$$p_1 = 0, \quad p_{2,3} = -4 \pm 4j$$

2. 实轴上的根轨迹： $(-\infty, 0]$

3. 渐近线

$$-\sigma = \frac{0 - 4 + 4j - 4 - 4j - 0}{3} = -\frac{8}{3} \approx -2.67$$

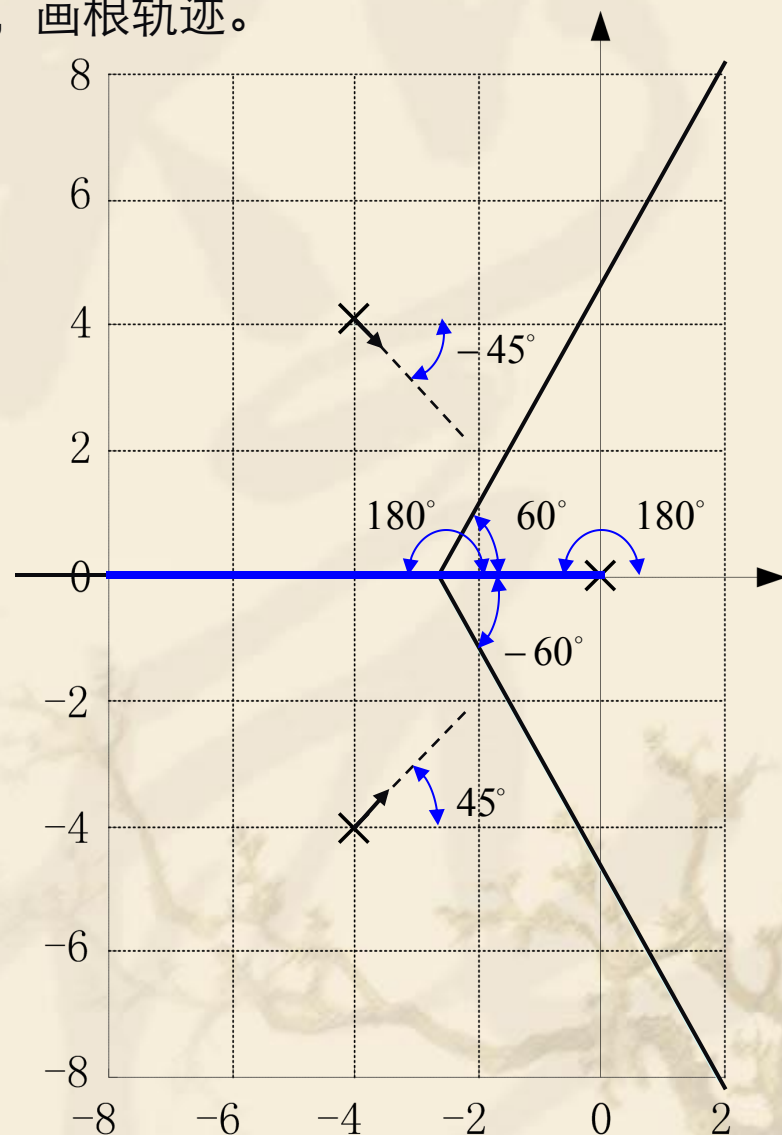
$$\theta = \frac{(2k+1)\pi}{3} = \begin{cases} \pm 60^\circ \\ 180^\circ \end{cases}$$

4. 出射角

$$\theta_{1c} = 180^\circ - (-45^\circ) - 45^\circ = 180^\circ$$

$$\theta_{2c} = 180^\circ - 90^\circ - 135^\circ = -45^\circ$$

$$\theta_{3c} = 45^\circ$$



5. 求与虚轴的交点，此时特征方程为 $s^3 + 8s^2 + 32s + k_g = 0$

将 $s = j\omega$ 代入得：

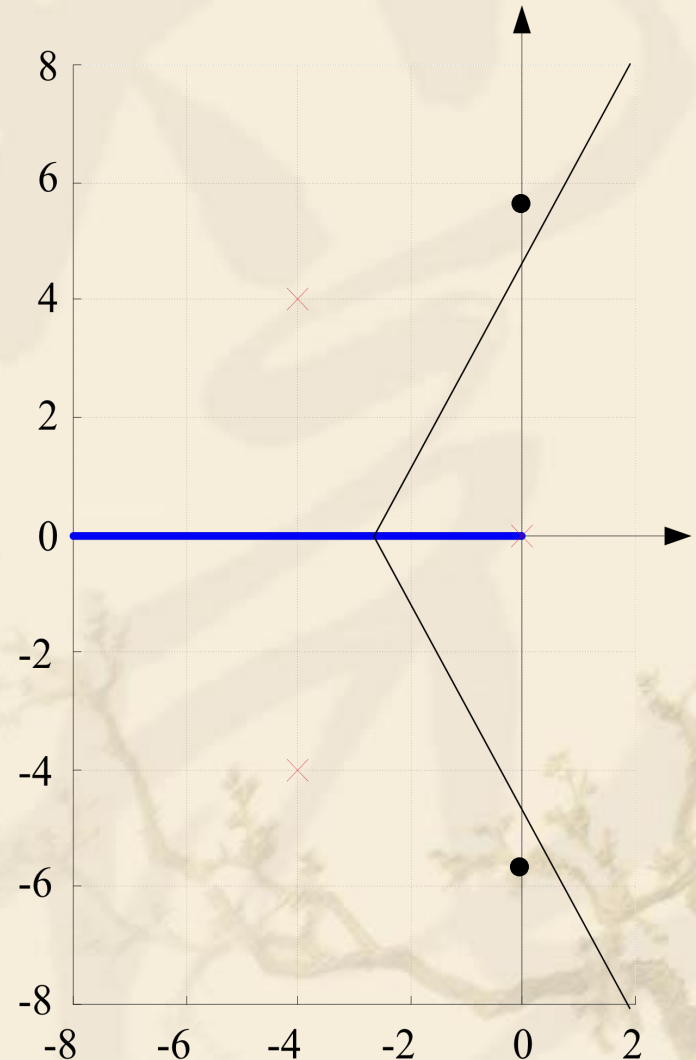
$$-j\omega^3 - 8\omega^2 + j32\omega + k_{gp} = 0$$

$$-8\omega^2 + k_{gp} = 0$$

$$-\omega^3 + 32\omega = 0$$

$$\omega = 0, \quad \omega = \pm 4\sqrt{2} \approx \pm 5.657$$

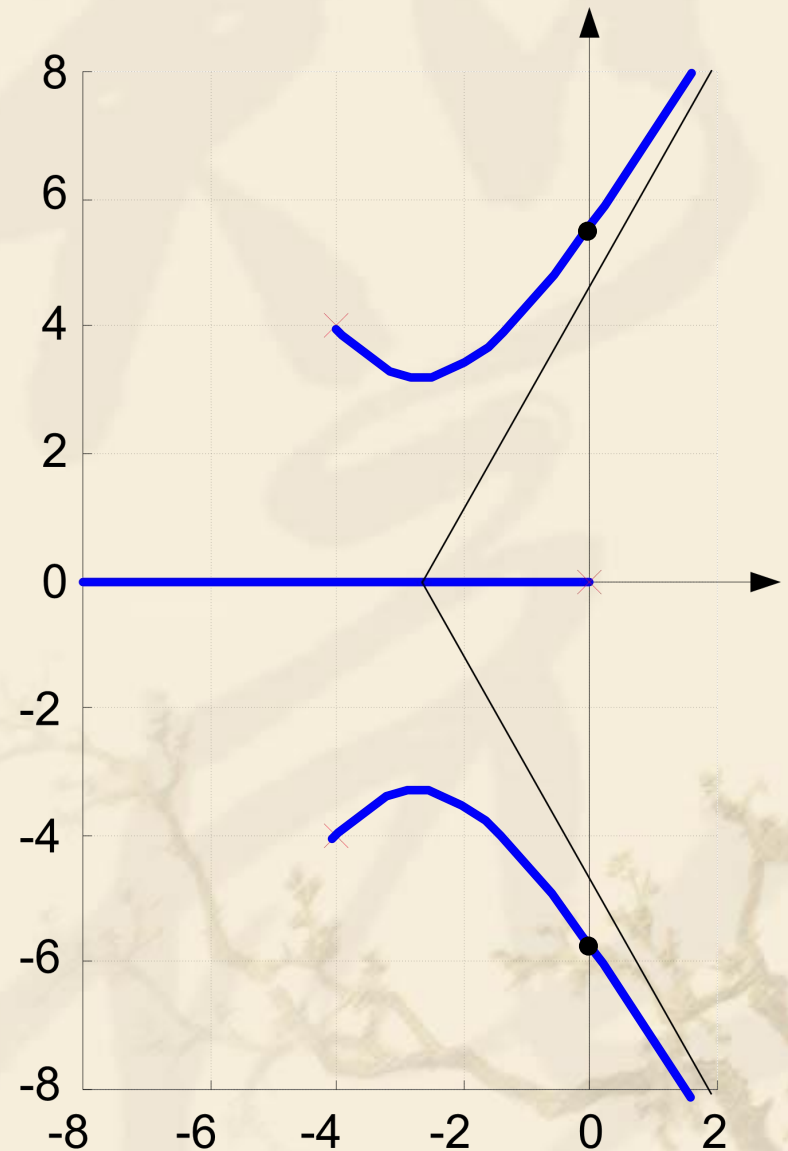
$$k_{gp} = \begin{cases} 0 & \omega = 0 \\ 256 & \omega = \pm 4\sqrt{2} \end{cases}$$



6.求分离会合点：无。

可按公式计算，通过验算，得到的点不在根轨迹上。

7.完整的根轨迹图如右。



小结

- ✚ 需掌握绘制根轨迹 ($k_g > 0$) 的性质和准则
- ❑ 根轨迹的连续性和对称性;
- ❑ 根轨迹的支数、起点、终点和渐近线;
- ❑ 根轨迹实轴上的点和根轨迹的分离会合点;
- ❑ 根轨迹的出射角、入射角和虚轴的交点;
- ❑ 闭环极点之和与之积。

作业：4.1,4.2,4.3